

図 5.7 目安線量相当濃度の累積分布関数 (Tc-99m)

以下の経路では、熔融時には排気筒から放出されないとしているため結果が得られない。

可燃物(熔融炉周辺-農作物、子ども)、可燃物(熔融炉周辺-畜産物、成人)、可燃物(熔融炉周辺-畜産物、子ども)

以下の経路では、半減期が短いために評価結果が図の範囲に入らない。

跡地利用(農作物、成人)、跡地利用(農作物、子ども)、地下水(養殖淡水産物、成人)、地下水(養殖淡水産物、子ども)

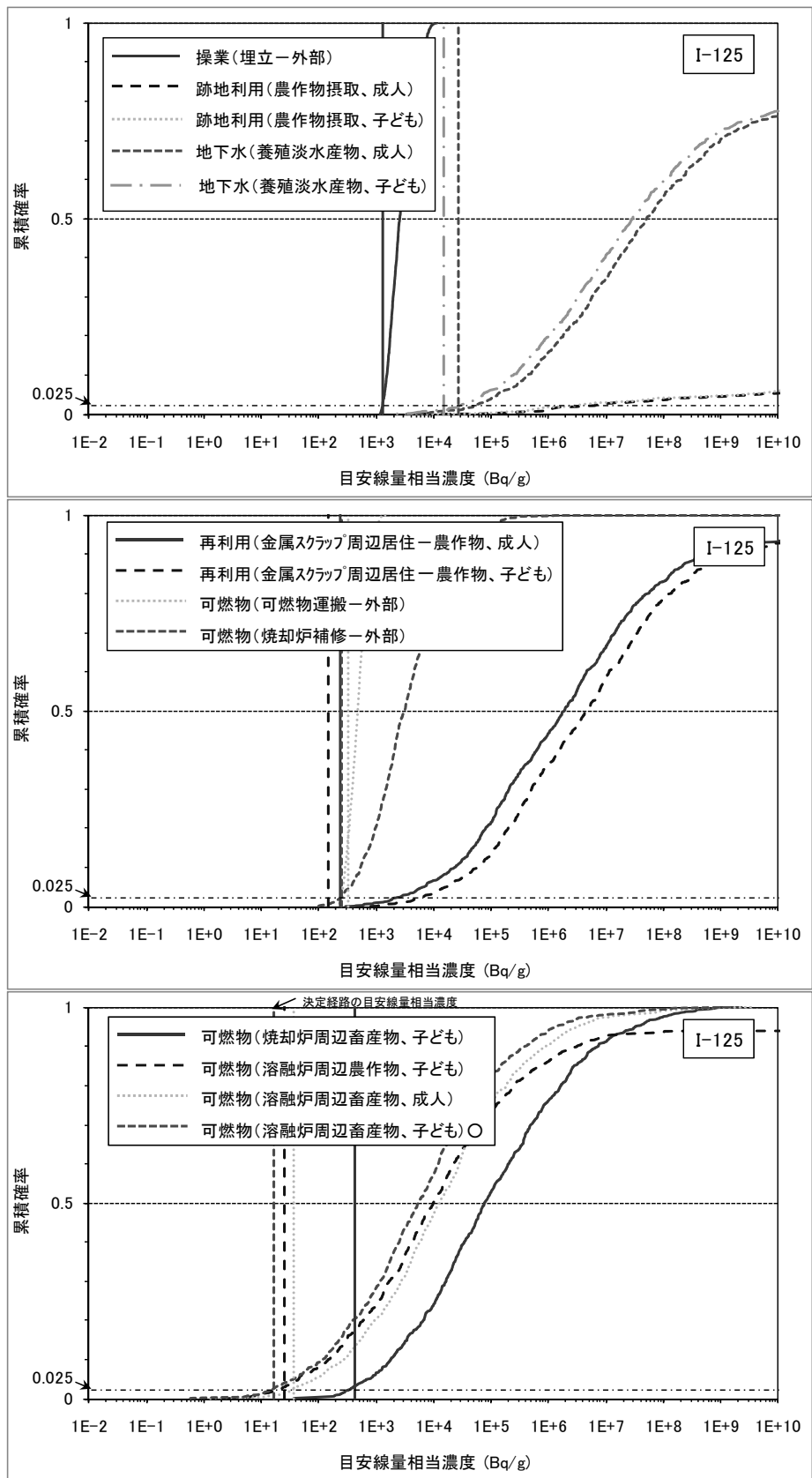


図 5.8 目安線量相当濃度の累積分布関数 (I-125)

以下の経路では、半減期が短いため評価結果が図の範囲に入らない。  
跡地利用(農作物、成人)、跡地利用(農作物、子ども)

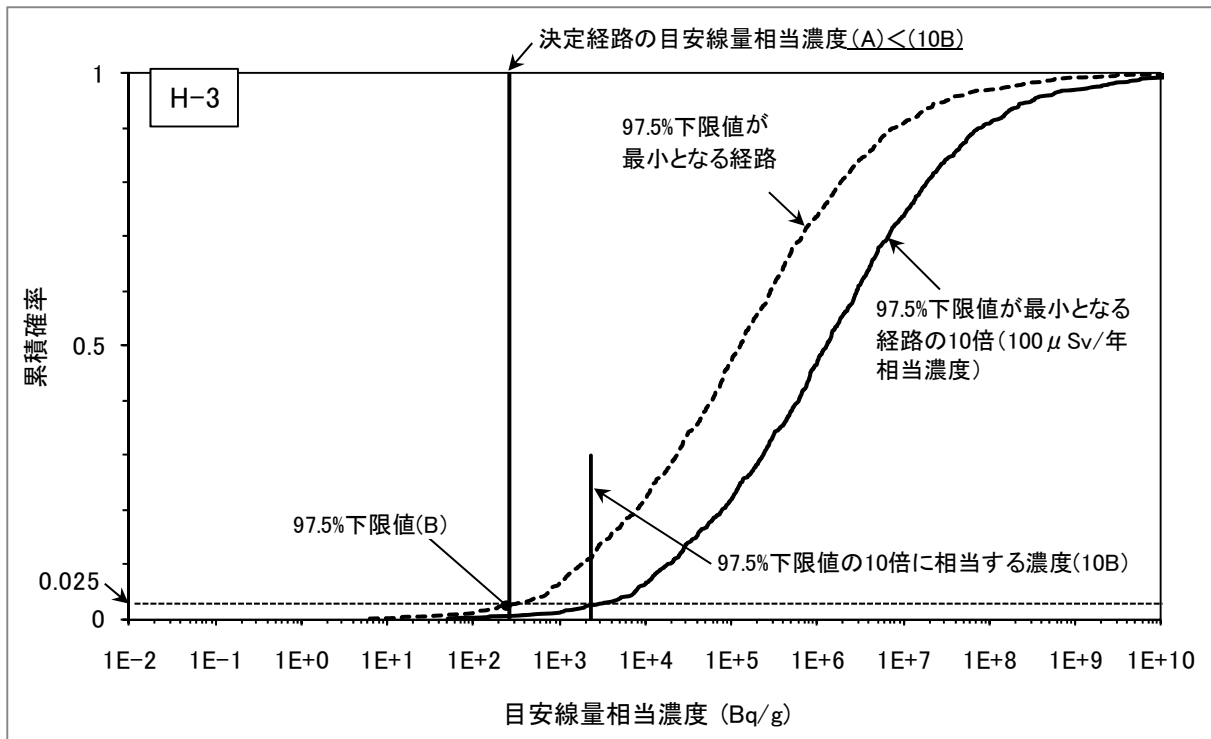


図 5.9 シナリオ妥当性評価結果 (H-3)

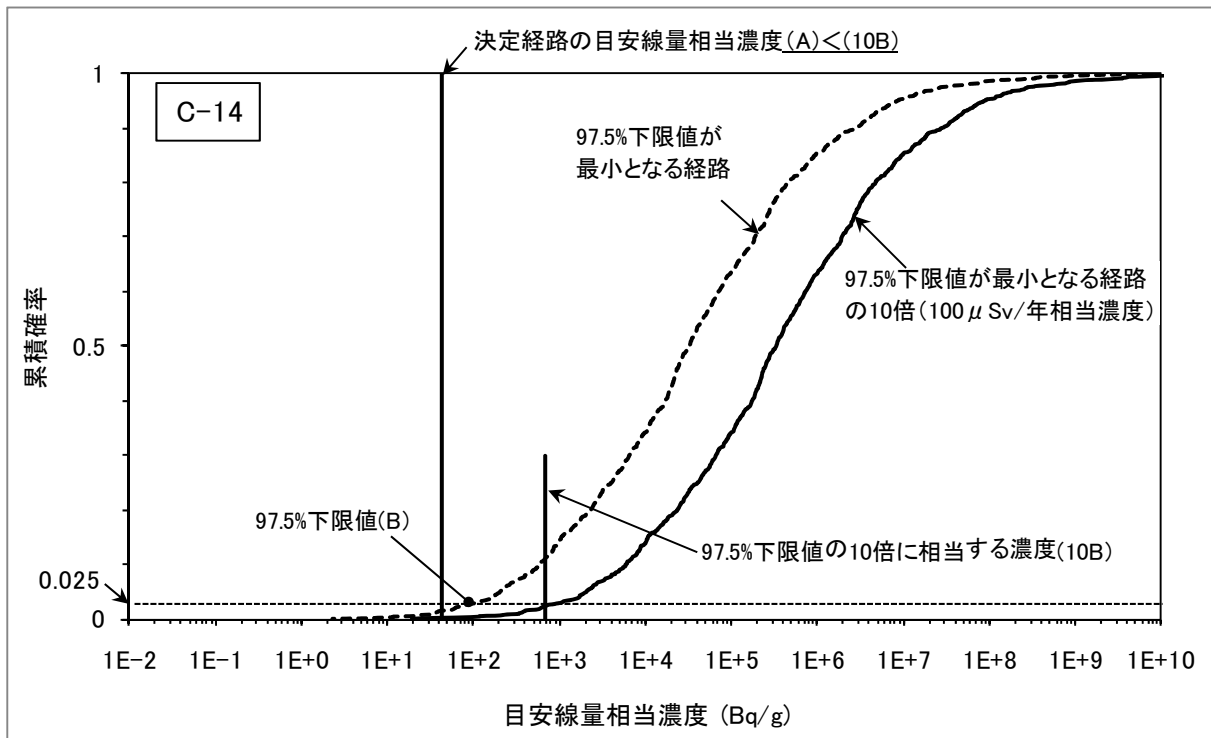


図 5.10 シナリオ妥当性評価結果 (C-14)

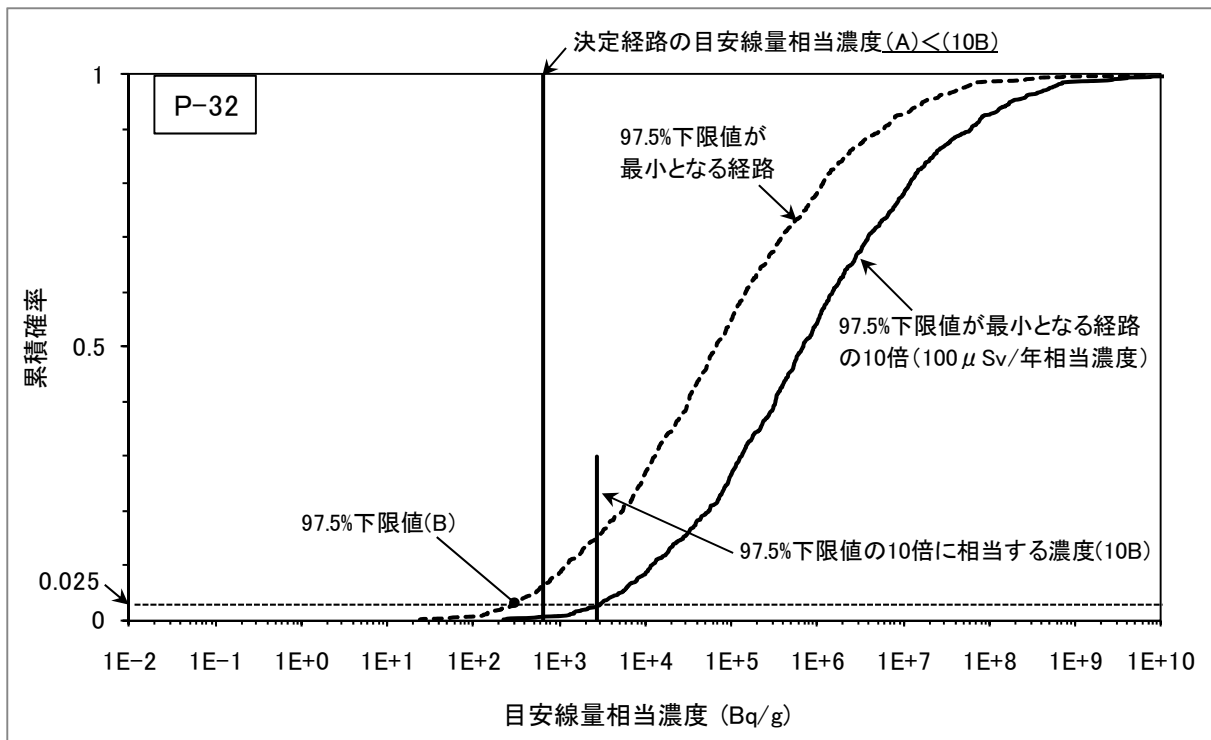


図 5.11 シナリオ妥当性評価結果 (P-32)

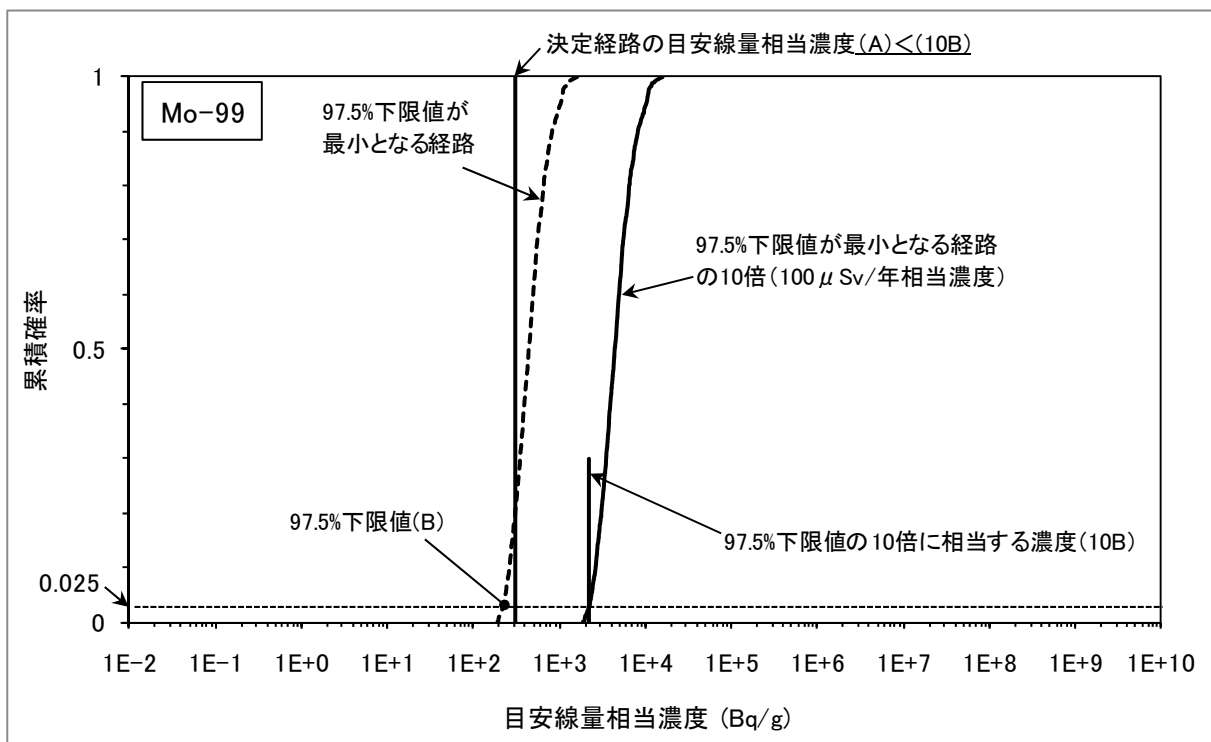


図 5.12 シナリオ妥当性評価結果 (Mo-99)

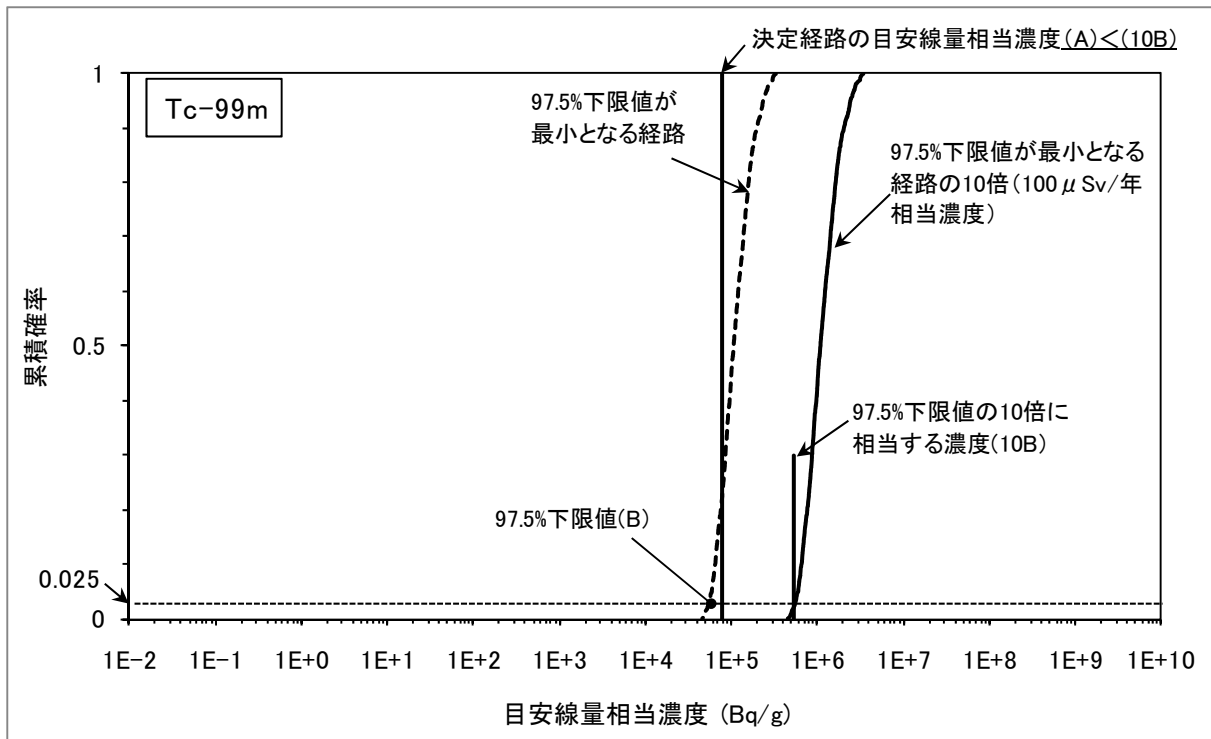


図 5.13 シナリオ妥当性評価結果 (Tc-99m)

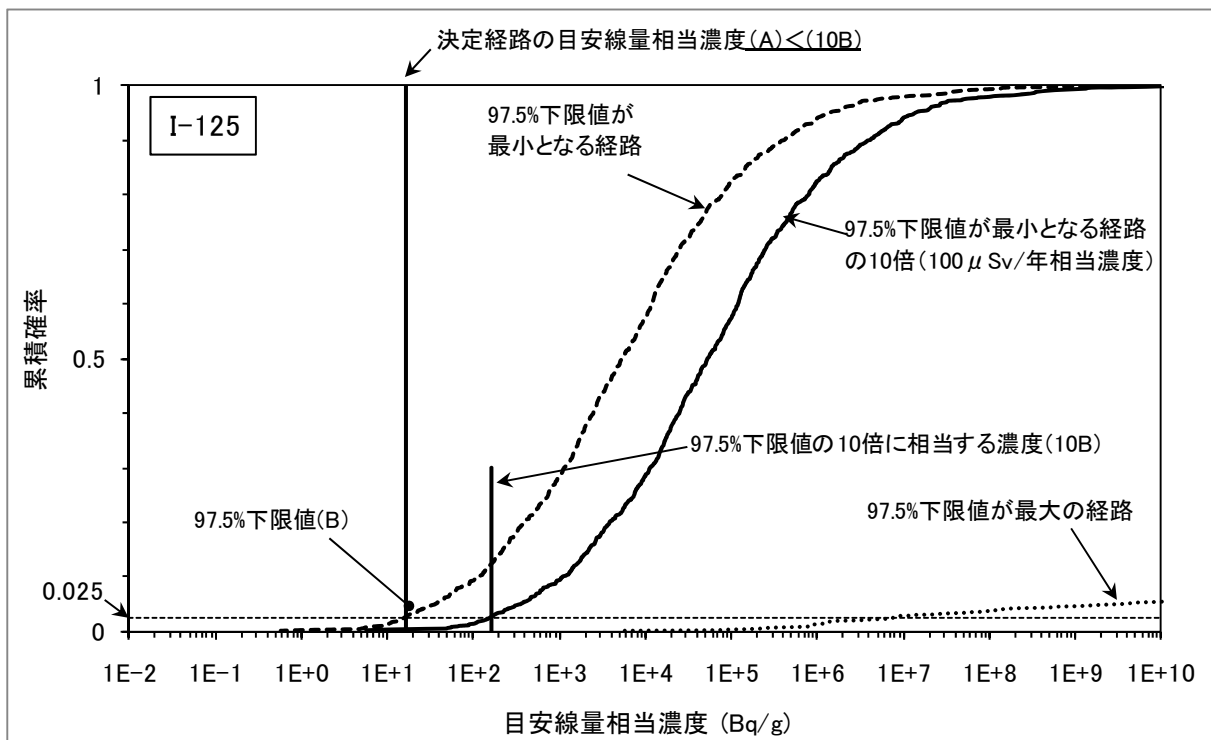


図 5.14 シナリオ妥当性評価結果 (I-125)

表 5.28 決定論的解析に基づくクリアランスレベルの暫定値と確率論的解析に基づく 97.5%下限値との比較 (RI 汚染物)

核種	決定論的解析に基づく結果		確率論的解析に基づく結果		確認 ( $A < B \times 10$ )
	決定経路名	クリアランスレベルの暫定値 (A) (Bq/g)	97.5%下限値が最小となる経路名	97.5%下限値 (B) (Bq/g)	
H-3	跡地利用 (農作物、子ども)	270	可燃物 (熔融炉周辺-畜産物、子ども)	240	○
C-14	地下水 (養殖淡水産物、子ども)	42	可燃物 (熔融炉周辺-畜産物、子ども)	70	○
P-32	可燃物 (焼却炉周辺-畜産物、子ども)	650	可燃物 (焼却炉周辺-畜産物、子ども)	270	○
Mo-99	可燃物 (可燃物運搬-外部)	310	可燃物 (可燃物運搬-外部)	220	○
Tc-99m	可燃物 (可燃物運搬-外部)	$7.8 \times 10^4$	可燃物 (可燃物運搬-外部)	$5.5 \times 10^4$	○
I-125	可燃物 (熔融炉周辺-畜産物、子ども)	16	可燃物 (熔融炉周辺-畜産物、子ども)	16	○

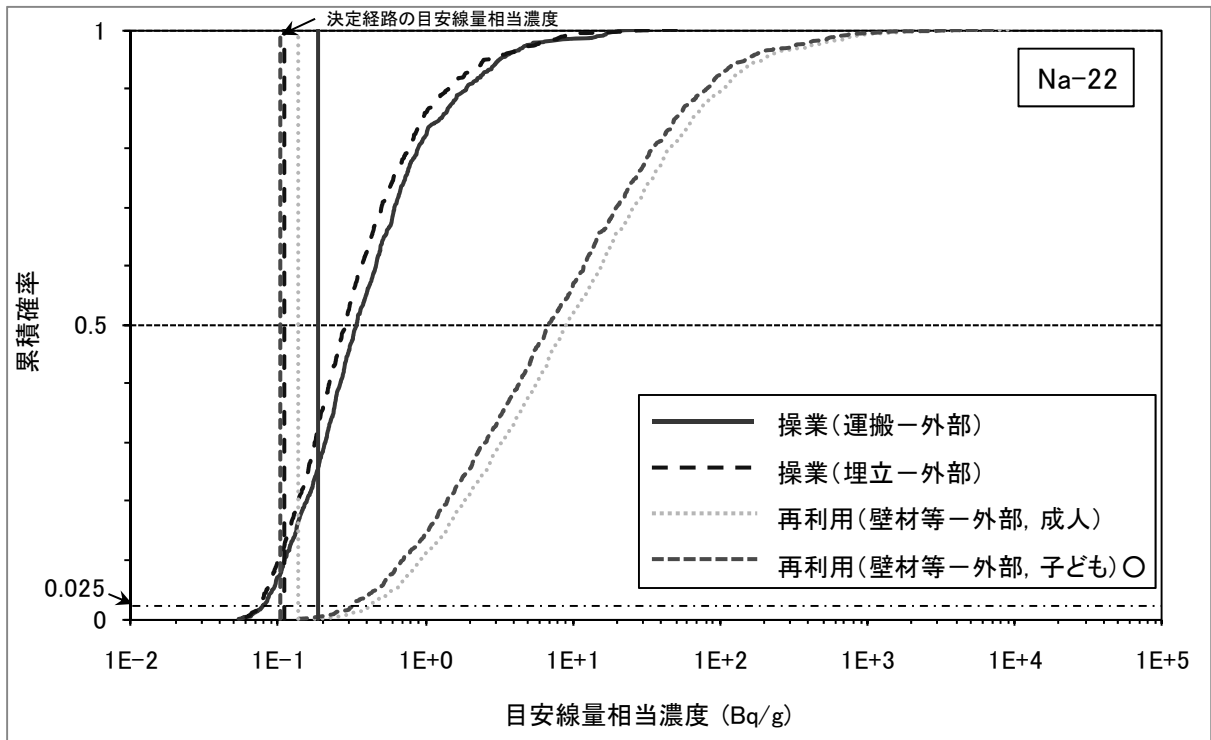


図 5.15 目安線量相当濃度の累積分布関数 (Na-22)

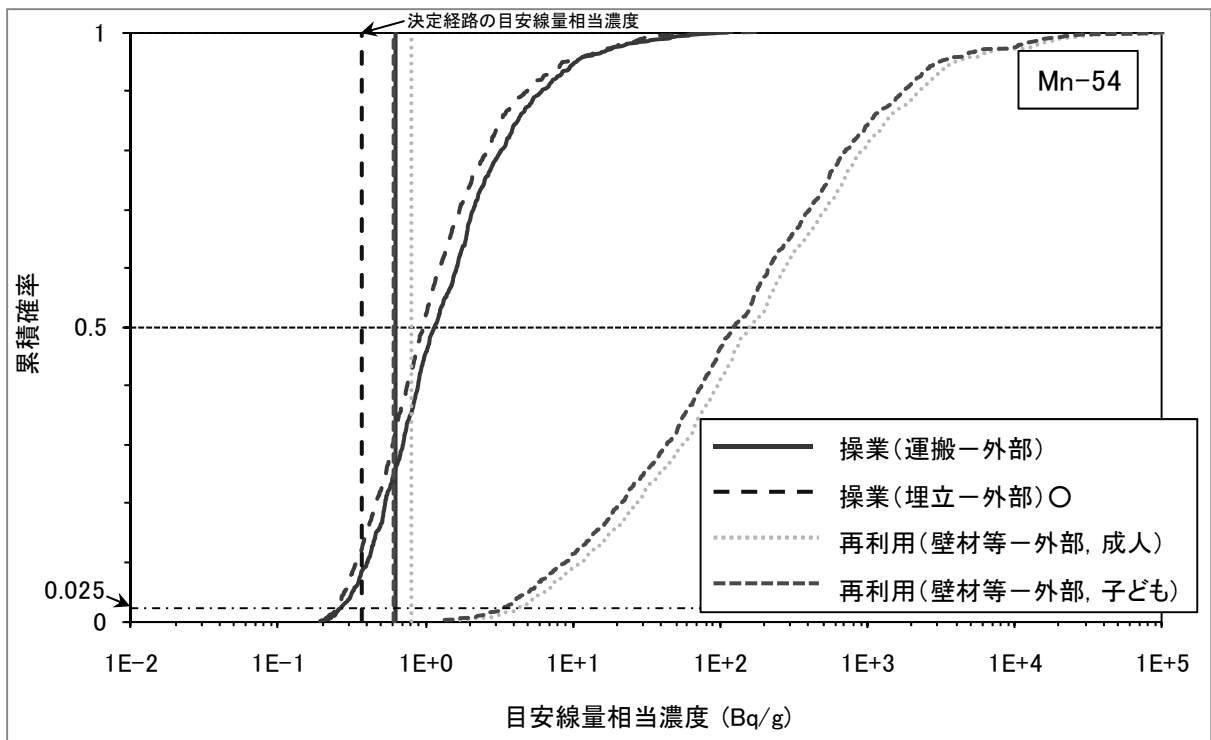


図 5.16 目安線量相当濃度の累積分布関数 (Mn-54)

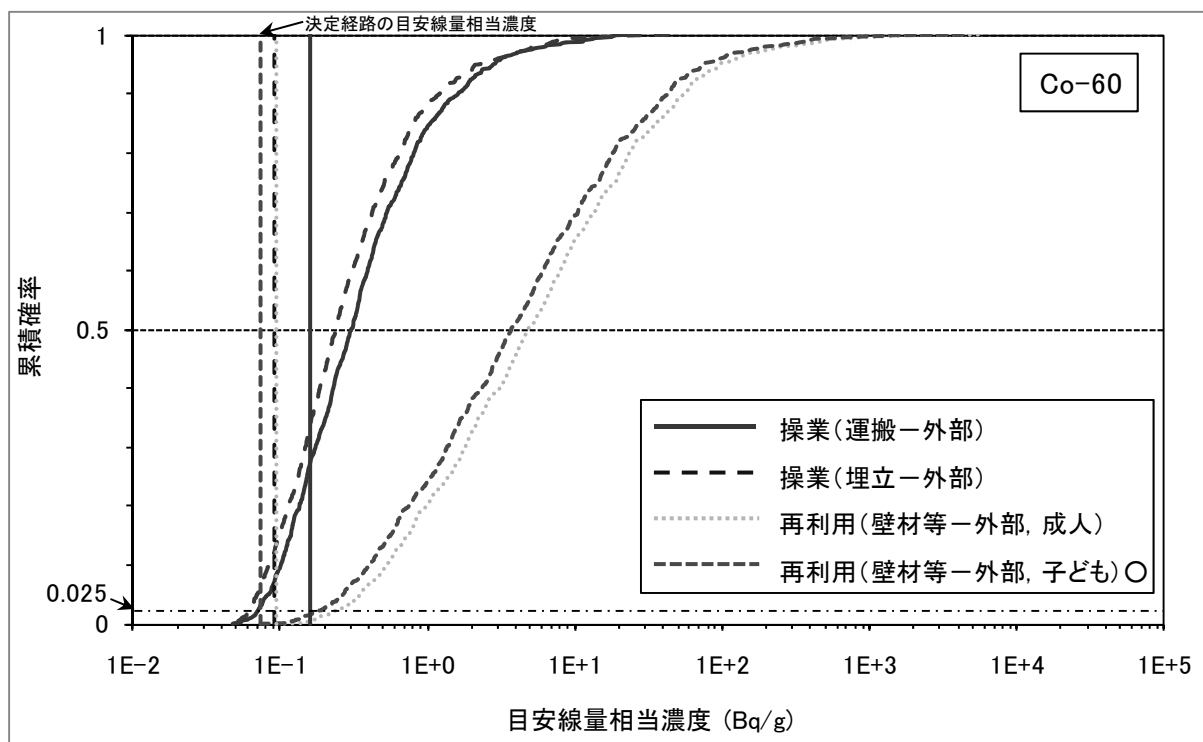


図 5.17 目安線量相当濃度の累積分布関数 (Co-60)

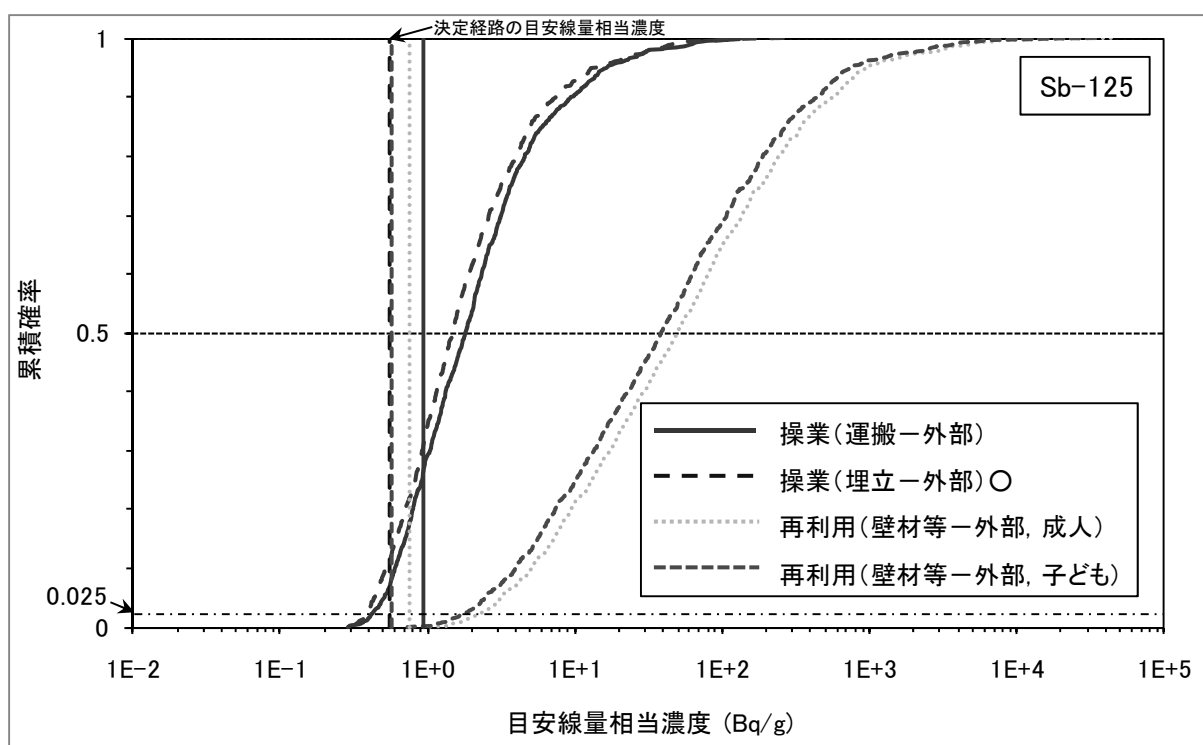


図 5.18 目安線量相当濃度の累積分布関数 (Sb-125)